

Beregnet til  
**Solnes Båthavn**

Dokument type  
**Rapport**

Dato  
**Juni, 2021**

# SOLNES BÅTHAVN

## MILJØTEKNISK

## UNDERSØKELSE



# SOLNES BÅTHAVN MILJØTEKNISK UNDERSØKELSE

Oppdragsnavn **Solnes båthavn - mudringsprosjekt**  
Prosjekt nr. **1350046358**  
Mottaker **Solnes båthavn v/Jan Ole Kaupang**  
Dokument type **Rapport**  
Versjon **000**  
Dato **28.06.2021**  
Utført av **Katrine Fossum**  
Kontrollert av **Eivind Dypvik**  
Godkjent av **Tom Øyvind Jahren**  
Beskrivelse **Dette dokumentet presenterer resultatene fra en miljøteknisk undersøkelse i et område der det planlegges vedlikeholdsmudring i Solnes båthavn i Sandefjord kommune.**

Rambøll  
Harbitzalléen 5  
Postboks 427 Skøyen  
0213 Oslo

T +47 22 51 80 00  
<https://no.ramboll.com>

## INNHALDSFORTEGNELSE

|           |  |           |
|-----------|--|-----------|
| <b>1.</b> | <b>Innledning</b>                                    | <b>2</b>  |
| <b>2.</b> | <b>Områdebeskrivelse og historikk</b>                | <b>2</b>  |
| 2.1       | Områdebeskrivelse og historikk                       | 2         |
| <b>3.</b> | <b>Materiale og metode</b>                           | <b>3</b>  |
| 3.1       | Prøvetaking av sediment                              | 4         |
| 3.2       | Kjemiske analyser                                    | 5         |
| 3.3       | Risikovurdering                                      | 5         |
| 3.4       | Naturkartlegging                                     | 6         |
| <b>4.</b> | <b>Resultater</b>                                    | <b>6</b>  |
| 4.1       | Visuell beskrivelse av sedimentene og tiltaksområdet | 6         |
| 4.2       | Analyseresultater sediment                           | 7         |
| 4.2.1     | Kornfordeling  | 7         |
| 4.2.2     | Total organisk karbon (TOC)                          | 7         |
| 4.2.3     | Metaller   | 7         |
| 4.2.4     | Polysykliske aromatiske hydrokarboner (PAH)          | 7         |
| 4.2.5     | Polyklorerte bifenyler (PCB)                         | 7         |
| 4.2.6     | Tributyltinn (TBT)                                   | 8         |
| 4.2.7     | Oljeforbindelser (Totale hydrokarboner)              | 8         |
| 4.3       | Naturverdier   | 9         |
| 4.3.1     | Naturtyper   | 9         |
| 4.3.2     | Arter  | 10        |
| 4.3.3     | Naturressurser                                       | 11        |
| <b>5.</b> | <b>Oppsummering</b>                                  | <b>12</b> |
| <b>6.</b> | <b>Referanser</b>                                    | <b>13</b> |

## 1. INNLEDNING

Solnes båthavn i Stokke kommune planlegger å vedlikeholdsmudre rundt 400 – 500 m<sup>3</sup> i indre deler av båthavnen. Dette for å opprettholde seilingsdypet i indre deler av båthavnen. I den forbindelse har Rambøll blitt engasjert til å utføre en miljøteknisk sedimentundersøkelse og kartlegging av naturverdier og naturressurser i/ved det planlagte tiltaksområdet. Denne datarapporten skal ligge til grunn for utarbeidelse av en mudringsøknad etter forurensingsloven.

## 2. OMRÅDEBESKRIVELSE OG HISTORIKK

### 2.1 Områdebeskrivelse og historikk

Solnes båthavn ligger i Tønsbergfjorden (Vestfjorden) i Melsomvik, Sandefjord kommune (Figur 1). Båthavnen ble etablert i 1985/1986 og har i dag 204 båtplasser og noen gjesteplasser. På utsiden av havna ligger Gåsøkalven med flere plasser for større båter (longsideplasser).



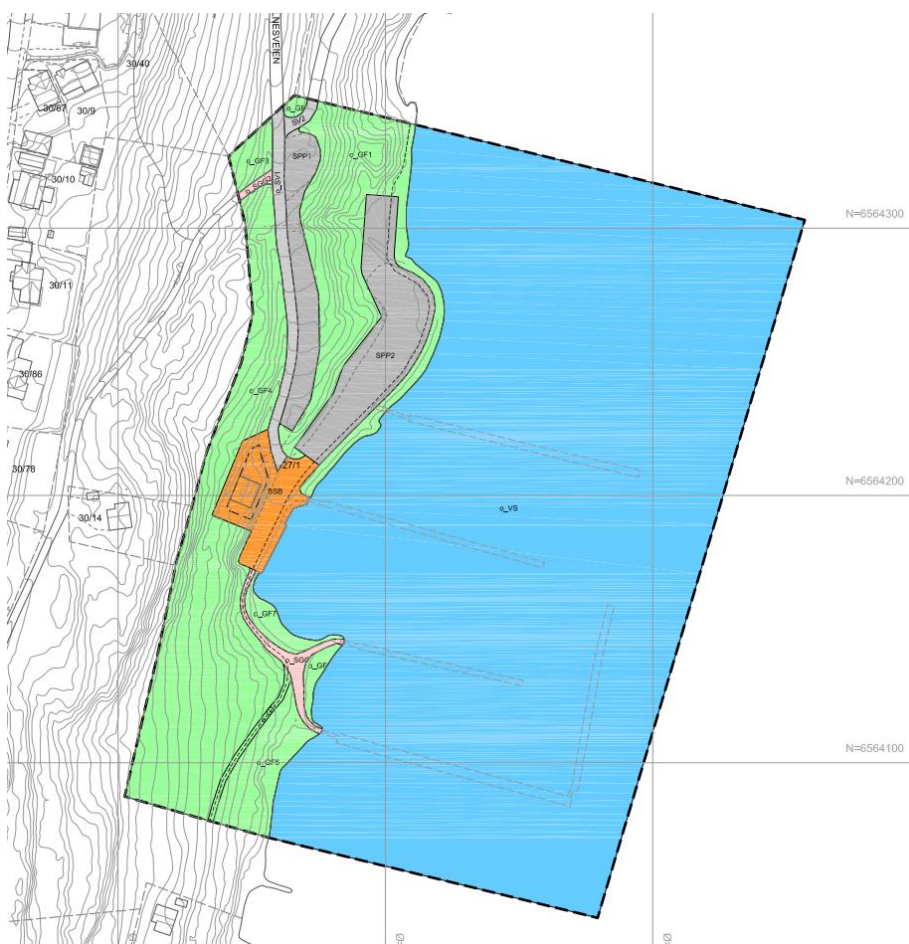
Figur 1. Kartutsnitt som viser beliggenheten på Solnes båthavn (markert med rosa sirkel) i Tønsbergfjorden. Hentet fra Naturbase (Miljødirektoratet, 2021).

Fra rundt århundreskiftet (1800 – 1900-tallet) var området ved Solnes båthavn del av marinenes anlegg i Melsomvik. Anlegget fungerte i all hovedsak som en opplagshavn til Karljohansvern i

Horten, og ved nåværende Solnes båthavn ble det en periode lagret kull for drivstoff til bl.a. dampmaskiner og skip. En rashendelse tidlig på 1900-tallet medførte at ca. 2000 tonn kull raste ut på sjøbunnen i området ved nåværende Solnes båthavn (Grønnerud, 2003). Derfor kalles plassen den dag i dag «Kølahølet».

Opplagshavnen ble nedlagt i 1920, men besto som marinedepot frem til det ble nedlagt i 1964 (Arkivportalen, 2021).

På 1980-tallet startet arbeidet med å etablere Solnes båthavn. Geotekniske undersøkelser ble gjennomført i 1986 og mudring av havneområdet ble gjennomført tidlig vår 1987 før båthavnen ble tatt i bruk fra mai 1987 (Solnes Båthavn, 2021). Område er i dag regulert (planID 0720) som småbåthavn iht. detaljregulering vedtatt 28. november 2017 (Figur 2).



**Figur 2. Reguleringsplankart hentet fra Sandefjord kommunes kartløsning (Sandefjord kommune, 2021). Blått areal indikerer småbåthavnomsråde, grønt areal indikerer turveg/friområde, oransje område indikerer småbåthavnanlegg på land, mens grått areal indikerer veg og parkeringsplasser.**

### 3. MATERIALE OG METODE

Rambøll har gjennomført en miljøteknisk sedimentundersøkelse ved Solnes båthavn i forbindelse med et planlagt mudringstiltak i sjø. Det er utført en forenklet Trinn 1 «Risikovurdering av

forurenset sediment» i henhold til kravene i Miljødirektoratets veileder M-350/2015 (Miljødirektoratet, 2015).

### 3.1 Prøvetaking av sediment

Det er estimert at det totale sedimentvolumet som vil bli berørt av det planlagte tiltaket ved Solnes båthavn er mellom 400 – 500 m<sup>3</sup>. Det planlagte mudringstiltaket klassifiseres derfor som et lite tiltak (<500 m<sup>3</sup>) iht. veileder M-350/2015. I slike tiltak er det tilstrekkelig å gjennomføre prøvetaking av sediment på tre stasjoner (Miljødirektoratet, 2015). Følgelig ble tiltaksområdet inndelt i tre stasjoner, med fire prøvetakingspunkter (delprøver) per stasjon (Tabell 1).

Sedimentprøvetakingen ble gjennomført den 3. juni 2021. En van Veen grabb med et prøvetakningsareal 250 cm<sup>2</sup> ble brukt til å prøveta sediment (ca. 0-10 cm) på hvert prøvetakningspunkt, enten fra brygge eller lettboat. For hver stasjon ble det opparbeidet en blandprøve bestående av delprøver fra fire prøvetakingspunkt. Hver blandprøve ble lagt i en rilsanpose og forseglet frem til levering hos laboratoriet etter endt feltarbeid. Posisjon for stasjoner og delprøver er illustrert i Figur 3 og koordinater for hvert delprøvepunkt er angitt i Tabell 1.



Figur 3. Kartutsnitt som viser tiltaksområdet ved Solnes båthavn. Tiltaksområdet er inndelt i tre stasjoner (St. Sol-1-21, St. Sol-2-21 og St. Sol-3-21). For hver stasjon ble det prøvetatt sediment ved fire delstasjoner.

Tabell 1. Koordinater for prøvetakingspunkt ved hver delstasjon og sedimenttykkelse i grabben.

| Stasjon  | Delprøve | Koordinater (ETRS89) | Prøvetykkelse |
|----------|----------|----------------------|---------------|
| Sol-1-21 | A        | 59.21063, 10.34222   | 6             |
|          | B        | 59.21057, 10.34223   | 6             |
|          | C        | 59.21048, 10.34213   | 7             |
|          | D        | 59.21035, 10.34215   | 6             |
| Sol-2-21 | A        | 50.2100, 10.34178    | 8             |
|          | B        | 59.21003, 10.34146   | 7,6           |
|          | C        | 59.20996, 10.34122   | 6             |
|          | D        | 50.2102, 10.34175    | 5,5           |
| Sol-3-21 | A        | 59.20966, 10.34076   | 7             |
|          | B        | 59.20973, 10.34084   | 4             |
|          | C        | 59.20979, 10.34093   | 6             |
|          | D        | 59.20985, 10.34118   | 8             |

### 3.2 Kjemiske analyser

Ved endt feltarbeid ble sedimentprøvene levert til analyse ved det akkrediterte laboratoriet ALS Laboratory Group Norway AS. Alle analyser er gjennomført med tilstrekkelig lav deteksjonsgrense for sammenligning mot aktuelle grenseverdier.

I henhold til krav i veileder M-350/2015 (Miljødirektoratet, 2015) og veileder M-409/2015 (Miljødirektoratet, 2015) ble de prøvetatte sedimentene analysert for følgende parametere:

- metaller (arsen, bly, kadmium, kobber, krom, kvikksølv, sink og nikkel)
- polysykliske aromatiske hydrokarboner (PAH16)
- polyklorerte bifenyler (PCB7)
- tinnorganiske forbindelser (TBT)
- total organisk karbon (TOC)
- kornfordeling

I tillegg ble det også analysert for oljeforbindelser (totale hydrokarboner (C5 – C40)).

### 3.3 Risikovurdering

Analyseresultatene av de prøvetatte sedimentene ble benyttet til å gjøre en forenklet trinn 1 risikovurdering, iht veileder M-409/2015 (Miljødirektoratet, 2015). I en forenklet trinn 1 risikovurdering av sediment blir konsentrasjonen av de ulike analyserte metallene og organiske miljøgiftene sammenlignet med gjeldene grenseverdier for ulike tilstandsklasser (I – V). De gjeldene tilstandsklassene for sediment er angitt i veileder M-608/2016 rev. 2020 (Miljødirektoratet, 2016). Fargekoder og forklaring av de ulike tilstandsklassene er angitt i Tabell 2.

For de analyserte metallene, PAH-forbindelsene, PCB7 og TBT finnes det tilstandsklasseverdier for forskjellige konsentrasjoner av de respektive stoffene i sediment. Oljeforbindelser (totale hydrokarboner – C5-C40) inngår ikke i dette tilstandsklasser-systemet for sedimenter (M-608/2016 rev. 2020), men det finnes normverdier for alifatiske hydrokarboner (som inngår som en del av de totale hydrokarbonene) i jord (Miljødirektoratets veileder TA-2553/2009 *Helsebaserte tilstandsklasser for forurenset grunn*). For alifatiske hydrokarboner (C12-C35) er gjeldene normverdi 100 mg/kg. De gjeldene normverdiene er i denne rapporten benyttet som et referansepunkt for å vurdere graden av oljeforbindelser som er detektert i sedimentene ved Solnes båthavn.

Tabell 2. Tilstandsklasser iht. Miljødirektoratets veiler M-608/2016, rev. 2020.

| Tilstandsklasse | I<br>Bakgrunn | II<br>God               | III<br>Moderat                            | IV<br>Dårlig                                    | V<br>Svært dårlig            |
|-----------------|---------------|-------------------------|---|---|------------------------------|
| Forklaring      | Bakgrunnsnivå | Ingen toksiske effekter | Kroniske effekter ved langtidseksposering | Akutt toksiske effekter ved korttidseksposering | Omfattende toksiske effekter |

### 3.4 Naturkartlegging

Registrerte naturverdier, herunder naturtyper, arter og naturressurser, i eller ved tiltaksområdet ble undersøkt ved gjennomgang av følgende nasjonale kartdatabaser:

- Naturbase (Miljødirektoratet, 2021)
- Yggdrasil (Fiskeridirektoratet, 2021)
- Kystinfo (Kystverket, 2021)
- Artskart (Artsdatabanken, 2021a)

I tillegg ble det gjort en befarings i tiltaksområdet under feltarbeidet 3. juni 2021.

## 4. RESULTATER

### 4.1 Visuell beskrivelse av sedimentene og tiltaksområdet

Sjøbunnen ved tiltaksområdet består i all hovedsak av bløtbunn, dominert av silt og sand. I enkelte mindre områder i strandkanten var det imidlertid stein som dominerte. Utvalgte bilder av delprøver fra de tre prøvetatte stasjonene er presentert i Figur 4.

De prøvetatte sedimentene fra St. Sol-1-21 hadde en mørk grå farge og besto av siltig sand. Det ble registrert bløtdyr (blåskjell, strandsnegl, hjerteskjell og/eller sandskjell) på alle prøvetakningspunktene ved denne stasjonen.

Sedimentene ved St. Sol-2-21 var hovedsakelig mørk grå, sandig silt. Noen av prøvene hadde et brunt toppsjikt (ca. 1 mm). Alle delprøvene hadde en utpreget lukt av svovel. Det var lite skjellmateriale i sedimentene, men to delprøver (Sol-2-21B og Sol-2-21C) inneholdt en del organisk materiale i form av kvister og blader.

Ved St. Sol-3-21 besto sjøbunnen av mørk grå, siltig sand. Det ble registret varierende grad av svovellukt. Sedimentet ved Sol-3-21B og Sol-3-21C hadde et tynt, brunt overflatesjikt (1 mm). Det ble funnet noe rødalger på sedimentoverflaten ved alle delstasjonene. Det var noe mindre skjell ved denne stasjonen enn ved St. Sol-1-21, men mer enn ved St. Sol-2-21.



Figur 4. Utvalgte bilder av delprøver fra de tre prøvetatte stasjonene ved Solnes båthavn 3. juni 2021.

## 4.2 Analyseresultater sediment

Nedenfor gir vi en beskrivelse av analyseresultatene på de ulike stasjonene. Fullstendige analyserapporter fra ALS er gitt i Vedlegg 2.

### 4.2.1 Kornfordeling

Kornfordelingsanalysen (Tabell 3) viser at tiltaksområdet hovedsakelig består av silt og sand. Sedimentsammensetningen ved St. Sol-1-21 og St. Sol-3-21 er nokså lik og karakteriseres som siltig sand. Ved St. Sol-2-21 er det tilnærmet like mengder av silt og sand.

**Tabell 3. Kornfordeling (sand inkl. grovere fraksjoner, silt og leire).**

| Kornfraksjon   | Sol-1-21 | Sol-2-21 | Sol-3-21 |
|----------------|----------|----------|----------|
| Leire <2 µm    | 1,10 %   | 0,80 %   | 0,60 %   |
| Silt (2-63 µm) | 36,40 %  | 48,60 %  | 34,10 %  |
| Sand (>63 µm)  | 62,50 %  | 50,60 %  | 65,30 %  |

### 4.2.2 Total organisk karbon (TOC)

Innhold av total organisk karbon, vist i Tabell 4, varierer mellom 1,3 til 4,65 % ved de tre stasjonene. Innholdet av organiske karbon var høyest på st. Sol-3-21, men relativt likt på de to øvrige stasjonene.

**Tabell 4. Innhold av total organisk karbon (TOC) i sedimentprøver fra Solnes båthavn.**

| Parameter                    | Enhet      | Sol-1-21 | Sol-2-21 | Sol-3-21 |
|------------------------------|------------|----------|----------|----------|
| Totalt organisk karbon (TOC) | % tørrvekt | 1,31     | 1,58     | 4,65     |

### 4.2.3 Metaller

Konsentrasjonen av arsen, bly, kvikksølv, kadmium, kobber, krom, nikkel og sink ble målt i konsentrasjoner tilsvarende god tilstand eller bedre (tilstandsklasse I og II) på samtlige stasjoner (Tabell 5).

Konsentrasjonen av kadmium var under deteksjonsgrensen ved alle de tre prøvene, mens konsentrasjonen av kvikksølv var under deteksjonsgrensen på to stasjoner (Tabell 5).

### 4.2.4 Polysykliske aromatiske hydrokarboner (PAH)

Konsentrasjonen av enkeltforbindelser av PAH tilsvarte god tilstand eller bedre på alle stasjoner, med enkelte unntak (Tabell 5). Antracen ble målt i konsentrasjoner tilsvarende moderat tilstand (tilstandsklasse III) i prøve Sol-2-21 og Sol-3-21, og dårlig tilstand (tilstandsklasse IV) i prøve Sol-1-21 (Tabell 5). Pyren ble målt i konsentrasjoner tilsvarende moderat tilstand i prøve Sol-1-21 og Sol-2-21 (Tabell 5). Benso(a)antracen ble også målt tilsvarende moderat tilstand i prøve Sol-1-21 (Tabell 5).

Sumparameteren (PAH16) for de analyserte PAH-forbindelsene tilsvarte god tilstand eller bedre (tilstandsklasse I og II) på alle stasjonene (Tabell 5).

### 4.2.5 Polyklorerte bifenyler (PCB)

Konsentrasjonen av PCB7 var under laboratoriets deteksjonsgrense i alle de tre analyserte prøvene (Tabell 5).

#### 4.2.6 Tributyltinn (TBT)

Analyseresultatene viser at det er lokale variasjoner av TBT i undersøkelsesområdet. Konsentrasjonene av TBT tilsvarte god tilstand (tilstandsklasse II) ved Sol-1-21, moderat tilstand (tilstandsklasse III) ved Sol-2-21 og dårlig tilstand (tilstandsklasse V) ved Sol-3-21 (Tabell 5). Merk at vi i denne rapporten har benyttet de forvaltningsmessige tilstandsklassene iht. veileder M-608/2016 (Miljødirektoratet, 2016).

#### 4.2.7 Oljeforbindelser (Totale hydrokarboner)

Oljeforbindelser (C5 – C35) inngår ikke i tilstandsklasser for sedimenter. Som nevnt under kapittel 3.3 har vi imidlertid sammenlignet detekterte konsentrasjoner av oljeforbindelser i sedimentene med gjeldene normverdi for forurenset grunn (C12–C35 - 100 mg/kg). Analyseresultatene er presentert i Tabell 5.

Det ble ikke detektert oljeforbindelser i fraksjonene C5–C16 og C35–C40 i de prøvetatte sedimentene. Det ble imidlertid detektert oljeforbindelser i fraksjonen C16–C35 på alle tre stasjoner. De detekterte konsentrasjonene var under 100 mg/kg i alle de analyserte sedimentprøvene, og varierte mellom 17 – 20 mg/kg.

**Tabell 5. Analyseresultater fra overflatesedimenter ved fra tiltaksområdet. Resultatene er fargekodet etter tilstandsklasser iht. Miljødirektoratets veileder M-608:2016. Grå felt indikerer at konsentrasjonen er under laboratoriets deteksjonsgrense, i.p. = ikke påvist.**

| Parameter                 | Enhet | Sol-1-21 | Sol-2-21 | Sol-3-21 |
|---------------------------|-------|----------|----------|----------|
| Tørrestoff ved 105 grader | %     | 60,3     | 46,4     | 49,1     |
| As (Arsen)                | mg/kg | 3,19     | 2,9      | 3        |
| Pb (Bly)                  | mg/kg | 11,3     | 12,3     | 11,2     |
| Cd (Kadmium)              | mg/kg | <0.10    | <0.10    | <0.10    |
| Cu (Kopper)               | mg/kg | 18,9     | 38,9     | 50,1     |
| Cr (Krom)                 | mg/kg | 13,5     | 18,6     | 14,1     |
| Hg (Kvikksølv)            | mg/kg | <0.20    | <0.20    | 0,47     |
| Ni (Nikkel)               | mg/kg | 11,9     | 16,6     | 11,8     |
| Zn (Sink)                 | mg/kg | 65,8     | 102      | 81,9     |
| Naftalen                  | µg/kg | <10      | <10      | <10      |
| Acenaftalen               | µg/kg | <10      | <10      | <10      |
| Fluoren                   | µg/kg | 14       | <10      | <10      |
| Fenantren                 | µg/kg | 168      | 54       | 20       |
| Antracen                  | µg/kg | 50       | 14       | 5        |
| Fluoranten                | µg/kg | 362      | 108      | 56       |
| Pyren                     | µg/kg | 297      | 87       | 48       |
| Benso(a)antracen          | µg/kg | 125      | 41       | 21       |
| Krysen                    | µg/kg | 130      | 42       | 27       |
| Benso(b)fluoranten        | µg/kg | 102      | 44       | 28       |
| Benso(k)fluoranten        | µg/kg | 86       | 38       | 24       |
| Benso(a)pyren             | µg/kg | 103      | 42       | 23       |
| Dibenso(ah)antracen       | µg/kg | 13       | <10      | <10      |
| Benso(ghi)perylene        | µg/kg | 59       | 29       | 16       |
| Indeno(123cd)pyren        | µg/kg | 57       | 26       | 15       |
| Sum PAH16                 | µg/kg | 1570     | 525      | 283      |
| Sum PCB7                  | mg/kg | <0.00245 | <0.00245 | <0.00245 |
| Tributyltinn              | µg/kg | 4,76     | 17,3     | 136      |
| THC C5-C16                | mg/kg | i.p.     | i.p.     | i.p.     |
| THC C16-C35               | mg/kg | 17       | 18       | 20       |
| THC C5-C35                | mg/kg | 17       | 18       | 20       |
| THC C35-C40               | mg/kg | i.p.     | i.p.     | i.p.     |

### 4.3 Naturverdier

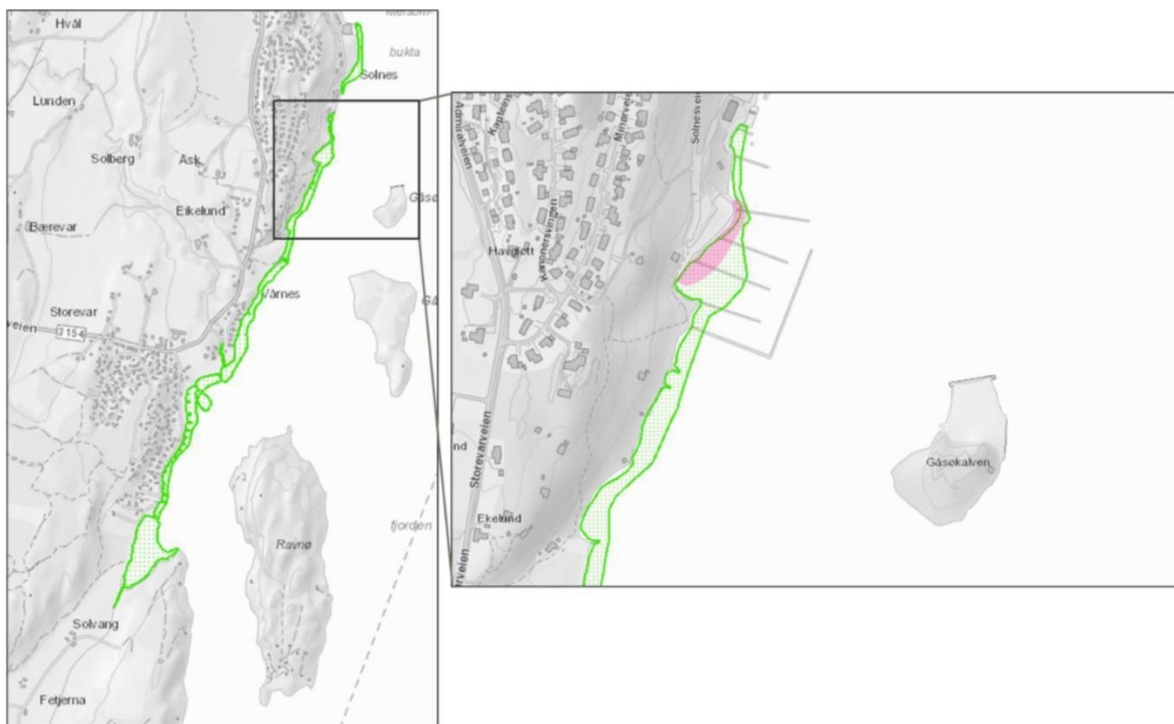
Som del av prosjektet har vi undersøkt kartlagte naturverdier og naturressurser i/ved det planlagte tiltaksområdet. Funnene er presentert i kapitlene nedenfor.

#### 4.3.1 Naturtyper

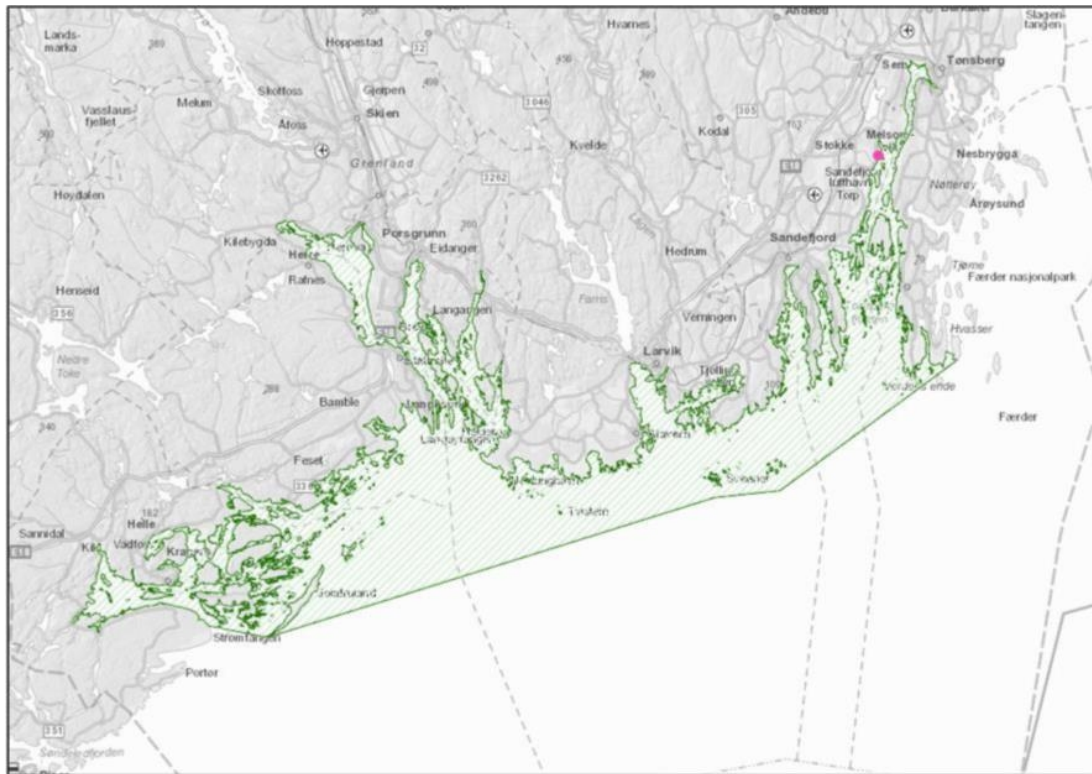
Marine naturtyper registrert i området ved Solnes båthavn er markert i Figur 5. Det er registrert et regionalt viktig (B-verdi) bløtbunnsområde i strandsonen (lokalitetsnavn Solvang-Melsomvik med id: BM00078692) i tiltaksområdet (Miljødirektoratet, 2021). Området dekker 50 000 – 500 000 m<sup>2</sup>, og dette er den eneste oppgitte begrunnelsen for verdisetningen av naturtypen (Miljødirektoratet, 2021). Det er også registrert et lokalt viktig (C-verdi) bløtbunnsområde i strandsonen (lokalitetsnavn Solnes med id: BM00078693) ca. 200 m nord for tiltaksområdet (Miljødirektoratet, 2021).

Solnes båthavn og det planlagte tiltaksområdet er del av Svennerbassenget, som er klassifisert som en nasjonal laksefjord (Figur 6). Svennerbassenget strekker seg fra Jomfruland i sør til Tønsberg i nord (Figur 6).

Det er ikke registrert øvrige marine naturtyper innenfor 1 km avstand fra det planlagte tiltaksområdet.



**Figur 5. Kart over naturtyper (grønn skravur) ved Solnes småbåthavn. Kartet til venstre viser hele utstrekningen til naturtypen bløtbunnsområde i strandsonen, som også er registrert i det planlagte tiltaksområdet. Dette er vist i høyere oppløsning i kartet til høyre. I kartet til høyre er omtrentlig planlagt mudringsområde markert i rosa.**



**Figur 6. Oversikt over Svannefjordet (grønn skravur), fra Jomfruland i sør til Tønsberg i nord, som er vurdert som en Nasjonal laksefjord. Det planlagte tiltaksområdet er markert med rosa sirkel.**

#### 4.3.2 Arter

Artskart ble undersøkt 10. juni 2021 for å kartlegge registrerte marine arter og fugler i/ved det planlagte tiltaksområdet. Funnene er illustrert i Figur 7. Det er ikke registrert noen rødlistede arter eller arter av spesiell forvaltningsmessig verdi i tiltaksområdet (Artsdatabanken, 2021a).

Like sør for tiltaksområdet er det registrert en observasjon av mink. Mink er kategorisert som svært høy risiko i norsk fremmedartsliste (Artsdatabanken, 2021b).

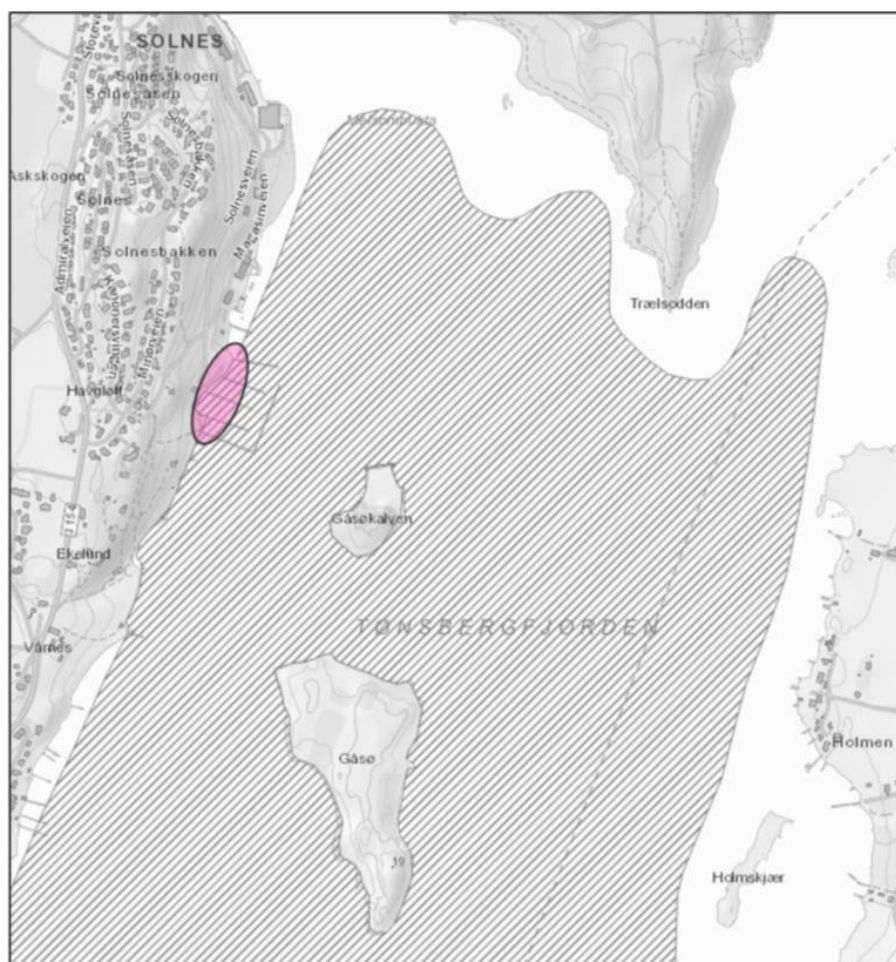


**Figur 7. Kart over Solnes båthavn med markert polygon (blått) som illustrer området som er undersøkt i Artskart (Artsdatabanken, 2021a) for å kartlegge registrerte arter i/ved det planlagte tiltaksområdet. Rosa sirkel indikerer registrering av mink.**

#### **4.3.3 Naturressurser**

Fiskeridirektoratets database (Fiskeridirektoratet, 2021) ble undersøkt i juni 2021 for å identifisere kartlagte områder av særlig verdi mht. naturressurser. Det er registrert en stor fiskeplass med passive redskaper i store deler av Tønsbergfjorden, herunder også Solnes båthavn (Figur 8). Fiskeplassen registrert som lokal og regional bruk av yrkesfiske og fritidsfiske etter artene torsk (*Gadus morhua*), sei (*Pollachius virens*), lyr (*Pollachius pollachius*), rødspette (*Pleuronectes platessa*) og tunge (*Solea solea*).

Det er ikke registrert øvrige viktige områder mht. naturressurser (herunder gytefelt, oppvekst- og beiteområder, fiskeplasser – aktive redskaper, rekefelt, akvakultur, låssettingsplasser eller skjellforekomster) i området (Fiskeridirektoratet, 2021).



**Figur 8. Utsnitt av kart fra Yggdrasil (Fiskeridirektoratet, 2021). Det er registrert en fiskeplass med passive redskaper i ved tiltaksområdet (skravert området). Det planlagte tiltaksområdet er markert i rosa. Øvrige kystnære fiskeridata (gytefelt, gyteområder, oppvekstområder, fiskeplasser, rekefelt, låssettingsplasser og skjellforekomster) er ikke registrert i området.**

## 5. OPPSUMMERING

På bakgrunn av forhøyede verdier av enkelte PAH-forbindelser (antracen, pyren og benzo(a)antracen) og TBT klassifiseres sedimentene i Solnes båthavn som forurensede. Funnene av TBT og PAH-forbindelser på tiltaksområdet antas å være knyttet til bunnstoff som er påført båtskrog, samt utslipp fra båtmotorer. Bunnstoff fra båtpuss er en kjent forurensningskilde for spesielt tinnorganiske forbindelser (TBT) og enkelte metaller som kobber (Cu). Selv om TBT ikke har vært tillatt som virkestoff i bunnstoff i Norge siden 2003, finner man stadig stoffet i sediment ved skipsverft og havneområder.

Det er registrert et viktig bløtbunnsområde i det planlagte mudringsområdet, samt en fiskeplass for passive redskaper. I tillegg er det planlagte tiltaksområde del av Svennerbassenget, som er en nasjonal laksefjord.

Avbøtende tiltak ved gjennomføring av vedlikeholdsmudring i området bør tilpasses iht. funnene i denne undersøkelsen.

## 6. REFERANSER

- Arkivportalen. (2021, Juni 24). *Arkivportalen*. Hentet fra Arkivportalen.no/:  
<https://www.arkivportalen.no/entity/no-a1450-01000001366095>
- Artsdatabanken. (2021a, Juni 10). *Artskart*. Hentet fra artskart.artsdatabanken.no:  
<https://artskart.artsdatabanken.no/app/>
- Artsdatabanken. (2021b, Juni 10). *Fremmedartslista*. Hentet fra  
Artsdatabanken.no/fremmedartslista2018:  
<https://www.artsdatabanken.no/fremmedartslista2018>
- Fiskeridirektoratet. (2021, Juni 10). *Yggdrasil*. Hentet fra portal.fiskeridir.no:  
<https://portal.fiskeridir.no/portal/apps/webappviewer/index.html?id=4b22481a36c14dbca4e4def930647924>
- Grønnerud, I. M. (2003). *Opplagshavna og lokalsamfunnet i Melsomvik 1898 - 1920*.
- Kystverket. (2021, Juni 10). *Kystinfo*. Hentet fra <https://kystinfo.no/>: <https://kystinfo.no/>
- Miljødirektoratet. (2015). *Håndtering av sediment - M-350/2015 rev. 2018*.
- Miljødirektoratet. (2015). *Risikovurdering av forurenset sediment - M-409/2015*.
- Miljødirektoratet. (2016). *Grenseverdier for klassifisering av vann, sediment og biota - rev. 30.10.2020. M-608/2016*.
- Miljødirektoratet. (2021, Juni 10). *Naturbase*. Hentet fra geocortex01.miljodirektoratet.no:  
<https://geocortex01.miljodirektoratet.no/Html5Viewer/?viewer=naturbase>
- Sandefjord kommune. (2021, Juni 24). <https://kart14.nois.no/sandefjord/>. Hentet fra  
<https://kart14.nois.no/sandefjord/>:  
<https://kart14.nois.no/sandefjord/Content/Main.aspx?layout=sandefjord&time=637601361870187269&vwr=asv>
- Solnes Båthavn. (2021, Juni 7). <https://www.havneweb.no/solneshavn>. Hentet fra  
<https://www.havneweb.no/solneshavn>:  
<https://www.havneweb.no/solneshavn/?mod=omhavnen>

## **VEDLEGG 1 FELTLOGG**

| Stasjon  | Del-prøve | Tykkelse | Beskrivelse av sediment   | Bilde  |
|----------|-----------|----------|---|--|
| Sol-1-21 | A         | 6 cm     | <p>Fordeling: jevnt i grabb</p> <p>Farge: mørk grå.</p> <p>Lukt: sjø</p> <p>Konsistens: geléaktig</p> <p>Type sediment: sandig silt</p> <p>Annet: noe skjell (blåskjell og rur, strandsnegl)</p>  |    |
|          | B         | 6 cm     | <p>Fordeling: jevnt i grabb</p> <p>Farge: mørk grå med innslag av brunt og svart sediment</p> <p>Lukt: svovel</p> <p>Konsistens:</p> <p>Type sediment: sandig silt med noe småstein</p> <p>Annet: mye organisk materiale, hjerteskjell, blåskjell og børstemark</p> |   |
|          | C         | 7 cm     | <p>Fordeling: jevnt i grabb</p> <p>Farge: brunlig grå overflate, grålig svart under topplaget</p> <p>Lukt: svovel</p> <p>Konsistens: leire masse</p> <p>Kornstørrelse: siltig leire</p> <p>Annet: døde blåskjell og hjerteskjell</p>                                |  |
|          | D         | 6 cm     | <p>Fordeling: jevnt i grabb</p> <p>Farge: mørk grå</p> <p>Lukt: mest sjø med noe lukt av svovel</p> <p>Konsistens:</p> <p>Type sediment: sandig silt</p> <p>Annet: en del skjell (sandskjell, hjerteskjell)</p>   |  |

| Stasjon  | Delprøve | Tykkelse | Beskrivelse av sediment  | Bilde  |
|----------|----------|----------|--|--|
| Sol-2-21 | A        | 8 cm     | <p>Fordeling: jevnt i grabb</p> <p>Farge: brunlig topplag (1 mm), svart under</p> <p>Lukt: sterk svovel</p> <p>Konsistens: mer porøst, mye vann i sedimentet</p> <p>Type sediment: sandig silt</p> <p>Annet: en del organisk materiale (planterester). Intet skjellmateriale</p> |    |
|          | B        | 7,6 cm   | <p>Fordeling: jevnt i grabb</p> <p>Farge: mørk grå, veldig homogen</p> <p>Lukt: sterk svovel</p> <p>Konsistens: noe fastere enn delprøve A</p> <p>Type sediment: leirig silt med spredte sandkorn</p> <p>Annet: ingen skjellrester</p>   |   |
|          | C        | 6 cm     | <p>Fordeling: jevnt i grabb</p> <p>Farge: brunt overflatelag (1 mm), mørk grå under</p> <p>Lukt: sterk svovel</p> <p>Konsistens:</p> <p>Type sediment: siltig sand med noe småstein</p> <p>Annet: organisk materiale (blad, kvist, strandsnegl og liten strandkrabbe)</p>        |  |
|          | D        | 5,5 cm   | <p>Fordeling: jevnt i grabb</p> <p>Farge: mørk grå</p> <p>Lukt: svovel</p> <p>Konsistens:</p> <p>Type sediment: sandig med mye småstein og skjell</p> <p>Annet:</p>  |  |

| Stasjon  | Del-prøve | Tykkelse | Beskrivelse av sediment  | Bilde  |
|----------|-----------|----------|--|--|
| Sol-3-21 | A         | 7 cm     | <p>Fordeling: jevnt i grabb</p> <p>Farge: mørk grå</p> <p>Lukt: noe svovel</p> <p>Konsistens:</p> <p>Type sediment: sandig silt</p> <p>Annet: rødalger og ett dødt sandskjell</p>                        |    |
|          | B         | 4 cm     | <p>Fordeling: jevnt i grabb</p> <p>Farge: brunt overflatelag (1 mm), mørk grå under</p> <p>Lukt: hint av svovel</p> <p>Konsistens:</p> <p>Type sediment: sandig silt</p> <p>Annet: rødalger</p>          |   |
|          | C         | 6 cm     | <p>Fordeling: jevnt i grabb</p> <p>Farge: brunt overflatelag (1 mm), mørk grå under</p> <p>Lukt: sterk svovel</p> <p>Konsistens:</p> <p>Type sediment: sandig silt</p> <p>Annet: rødalger</p>            |  |
|          | D         | 8 cm     | <p>Fordeling: jevnt i grabb</p> <p>Farge: mørk grå mot gråsvart</p> <p>Lukt: svovel</p> <p>Konsistens:</p> <p>Type sediment: sandig med mye småstein og skjell</p> <p>Annet: rødalger og strandsnegl</p> |  |

## **VEDLEGG 2 ANALYSERESULTATER**



## ANALYSERAPPORT

|                 |  |                           |                                     |
|-----------------|--|---------------------------|-------------------------------------|
| Ordrenummer     | : NO2108533  | Side                      | : 1 av 8                            |
| Kunde           | : Rambøll Norge AS   | Prosjekt                  | : Solnes båthavn - mudringsprosjekt |
| Kontakt         | : Eivind Dypvik  | Prosjektnummer            | : 1350046358                        |
| Adresse         | : Fakturamottak<br>Post boks 190 Økern<br>0510 Oslo<br>Norge | Prøvetaker                | : ----                              |
| Epost           | : eivind.dypvik@ramboll.no                                   | Sted                      | : ----                              |
| Telefon         | : ----   | Dato prøvemottak          | : 2021-06-04 09:02                  |
| COC nummer      | : ----   | Analysedato               | : 2021-06-08                        |
| Tilbuds- nummer | : OF181525   | Dokumentdato              | : 2021-06-15 09:26                  |
|                 |  | Antall prøver mottatt     | : 3                                 |
|                 |  | Antall prøver til analyse | : 3                                 |

### Om rapporten

Forklaring til resultatene er gitt på slutten av rapporten.

Denne rapporten erstatter enhver foreløpig rapport med denne referansen. Resultater gjelder innleverte prøver slik de var ved innleveringstidspunktet. Alle sider på rapporten har blitt kontrollert og godkjent før utsendelse.

Denne rapporten får kun gjengis i sin helhet, om ikke utførende laboratorium på forhånd har skriftlig godkjent annet. Resultater gjelder bare de analyserte prøvene.

Hvis prøvetakingstidspunktet ikke er angitt, prøvetakingstidspunktet vil bli default 00:00 på prøvetakingsdatoen. Hvis datoen ikke er angitt, blir default dato satt til dato for prøvemottak angitt i klammer uten tidspunkt.

### Kommentarer

Prøven for metod S-TOC1-IR er tørket ved 105 grader og pulverisert før analyse.

| Underskrivere   | Posisjon     |
|-----------------|--------------|
| Torgeir Rødsand | DAGLIG LEDER |

|              |   |          |                         |
|--------------|---|----------|-------------------------|
| Laboratorium | : ALS Laboratory Group avd. Oslo          | Nettside | : www.alsglobal.no      |
| Adresse      | : Drammensveien 264<br>0283 Oslo<br>Norge | Epost    | : info.on@alsglobal.com |
|              |   | Telefon  | : ----                  |



## Analyseresultater

Submatriks: **SEDIMENT**

Kundes prøvenavn

Prøvenummer lab

Kundes prøvetakingsdato

**SoI-1-21**

NO2108533001

2021-06-03 00:00

| Parameter                                 | Resultat | MU       | Enhet    | LOR     | Analysedato | Metode     | Utf. lab | Acc.Key |
|---|----------|----------|----------|---------|-------------|------------|----------|---------|
| <b>Tørrstoff</b>                          |          |          |          |         |             |            |          |         |
| Tørrstoff ved 105 grader                  | 60.3     | ± 3.65   | %        | 0.10    | 2021-06-08  | S-DRY-GRCI | PR       | a ulev  |
| <b>Prøvepreparering</b>                   |          |          |          |         |             |            |          |         |
| Ekstraksjon                               | Yes      | ----     | -        | -       | 2021-06-14  | S-P46      | LE       | a ulev  |
| <b>Totale elementer/metaller</b>          |          |          |          |         |             |            |          |         |
| As (Arsen)                                | 3.19     | ± 0.64   | mg/kg TS | 0.50    | 2021-06-09  | S-METAXAC1 | PR       | a ulev  |
| Cd (Kadmium)                              | <0.10    | ----     | mg/kg TS | 0.10    | 2021-06-09  | S-METAXAC1 | PR       | a ulev  |
| Cr (Krom)                                 | 13.5     | ± 2.70   | mg/kg TS | 0.25    | 2021-06-09  | S-METAXAC1 | PR       | a ulev  |
| Cu (Kopper)                               | 18.9     | ± 3.78   | mg/kg TS | 0.10    | 2021-06-09  | S-METAXAC1 | PR       | a ulev  |
| Hg (Kvikksølv)                            | <0.20    | ----     | mg/kg TS | 0.20    | 2021-06-09  | S-METAXAC1 | PR       | a ulev  |
| Ni (Nikkel)                               | 11.9     | ± 2.40   | mg/kg TS | 1.0     | 2021-06-09  | S-METAXAC1 | PR       | a ulev  |
| Pb (Bly)                                  | 11.3     | ± 2.20   | mg/kg TS | 1.0     | 2021-06-09  | S-METAXAC1 | PR       | a ulev  |
| Zn (Sink)                                 | 65.8     | ± 13.20  | mg/kg TS | 5.0     | 2021-06-09  | S-METAXAC1 | PR       | a ulev  |
| <b>PCB</b>                                |          |          |          |         |             |            |          |         |
| PCB 28                                    | <0.00070 | ----     | mg/kg TS | 0.00070 | 2021-06-10  | S-SMIGMS01 | PR       | a ulev  |
| PCB 52                                    | <0.00070 | ----     | mg/kg TS | 0.00070 | 2021-06-10  | S-SMIGMS01 | PR       | a ulev  |
| PCB 101                                   | <0.00070 | ----     | mg/kg TS | 0.00070 | 2021-06-10  | S-SMIGMS01 | PR       | a ulev  |
| PCB 118                                   | <0.00070 | ----     | mg/kg TS | 0.00070 | 2021-06-10  | S-SMIGMS01 | PR       | a ulev  |
| PCB 138                                   | <0.00070 | ----     | mg/kg TS | 0.00070 | 2021-06-10  | S-SMIGMS01 | PR       | a ulev  |
| PCB 153                                   | <0.00070 | ----     | mg/kg TS | 0.00070 | 2021-06-10  | S-SMIGMS01 | PR       | a ulev  |
| PCB 180                                   | <0.00070 | ----     | mg/kg TS | 0.00070 | 2021-06-10  | S-SMIGMS01 | PR       | a ulev  |
| Sum PCB-7                                 | <0.00245 | ----     | mg/kg TS | 0.00245 | 2021-06-10  | S-SMIGMS01 | PR       | a ulev  |
| <b>Polyaromatiske hydrokarboner (PAH)</b> |          |          |          |         |             |            |          |         |
| Naftalen                                  | <10      | ----     | µg/kg TS | 10      | 2021-06-10  | S-SMIGMS01 | PR       | a ulev  |
| Acenaftylen                               | <10      | ----     | µg/kg TS | 10      | 2021-06-10  | S-SMIGMS01 | PR       | a ulev  |
| Acenaften                                 | <10      | ----     | µg/kg TS | 10      | 2021-06-10  | S-SMIGMS01 | PR       | a ulev  |
| Fluoren                                   | 14       | ± 4.20   | µg/kg TS | 10      | 2021-06-10  | S-SMIGMS01 | PR       | a ulev  |
| Fenantren                                 | 168      | ± 50.30  | µg/kg TS | 10      | 2021-06-10  | S-SMIGMS01 | PR       | a ulev  |
| Antracen                                  | 50       | ± 14.80  | µg/kg TS | 4       | 2021-06-10  | S-SMIGMS01 | PR       | a ulev  |
| Fluoranten                                | 362      | ± 109.00 | µg/kg TS | 10      | 2021-06-10  | S-SMIGMS01 | PR       | a ulev  |
| Pyren                                     | 297      | ± 89.20  | µg/kg TS | 10      | 2021-06-10  | S-SMIGMS01 | PR       | a ulev  |
| Benso(a)antracen <sup>^</sup>             | 125      | ± 37.50  | µg/kg TS | 10      | 2021-06-10  | S-SMIGMS01 | PR       | a ulev  |
| Krysen <sup>^</sup>                       | 130      | ± 38.90  | µg/kg TS | 10      | 2021-06-10  | S-SMIGMS01 | PR       | a ulev  |
| Benso(b)fluoranten <sup>^</sup>           | 102      | ± 30.60  | µg/kg TS | 10      | 2021-06-10  | S-SMIGMS01 | PR       | a ulev  |
| Benso(k)fluoranten <sup>^</sup>           | 86       | ± 25.70  | µg/kg TS | 10      | 2021-06-10  | S-SMIGMS01 | PR       | a ulev  |
| Benso(a)pyren <sup>^</sup>                | 103      | ± 31.00  | µg/kg TS | 10      | 2021-06-10  | S-SMIGMS01 | PR       | a ulev  |
| Dibenso(ah)antracen <sup>^</sup>          | 13       | ± 4.02   | µg/kg TS | 10      | 2021-06-10  | S-SMIGMS01 | PR       | a ulev  |
| Benso(ghi)perylene                        | 59       | ± 17.60  | µg/kg TS | 10      | 2021-06-10  | S-SMIGMS01 | PR       | a ulev  |

Dokumentdato : 2021-06-15 09:26  
 Side : 3 av 8  
 Ordrenummer : NO2108533  
 Kunde : Rambøll Norge AS



Submatriks: **SEDIMENT**

Kundes prøvenavn  
 Prøvenummer lab  
 Kundes prøvetakingsdato

**Sol-1-21**

NO2108533001

2021-06-03 00:00

| Parameter  | Resultat   | MU      | Enhet      | LOR  | Analysedato | Metode     | Utf. lab | Acc.Key |
|--|------------|---------|------------|------|-------------|------------|----------|---------|
| <b>Polyaromatiske hydrokarboner (PAH) - Fortsetter</b> |            |         |            |      |             |            |          |         |
| Indeno(123cd)pyren <sup>^</sup>                        | 57         | ± 17.20 | µg/kg TS   | 10   | 2021-06-10  | S-SMIGMS01 | PR       | a ulev  |
| Sum of 16 PAH (M1)                                     | 1570       | ----    | µg/kg TS   | 80   | 2021-06-10  | S-SMIGMS01 | PR       | a ulev  |
| Sum PAH carcinogene <sup>^</sup>                       | 616        | ----    | µg/kg TS   | 35   | 2021-06-10  | S-SMIGMS01 | PR       | a ulev  |
| <b>Totale hydrokarboner (THC)</b>                      |            |         |            |      |             |            |          |         |
| Fraksjon >C5-C6  | <7.0       | ----    | mg/kg TS   | 7.0  | 2021-06-08  | S-VPHFID02 | PR       | a ulev  |
| Fraksjon >C6-C8  | <7.00      | ----    | mg/kg TS   | 7.00 | 2021-06-08  | S-VPHFID02 | PR       | a ulev  |
| Fraksjon >C8-C10                                       | <10.0      | ----    | mg/kg TS   | 10.0 | 2021-06-08  | S-VPHFID02 | PR       | a ulev  |
| Fraksjon >C10-C12                                      | <2.0       | ----    | mg/kg TS   | 2.0  | 2021-06-09  | S-TPHFID01 | PR       | a ulev  |
| Fraksjon >C12-C16                                      | <3.0       | ----    | mg/kg TS   | 3.0  | 2021-06-09  | S-TPHFID01 | PR       | a ulev  |
| Fraksjon >C16-C35                                      | 17         | ± 5.00  | mg/kg TS   | 10   | 2021-06-09  | S-TPHFID01 | PR       | a ulev  |
| Fraksjon >C35-C40                                      | <5.0       | ----    | mg/kg TS   | 5.0  | 2021-06-09  | S-TPHFID01 | PR       | a ulev  |
| Fraksjon >C12-C35 (sum, M1)                            | 17.0       | ± 5.10  | mg/kg TS   | 6.50 | 2021-06-11  | S-TPHFID10 | PR       | a ulev  |
| Fraksjon >C5-C35 (sum, NORM, M1)                       | 17.0       | ± 5.10  | mg/kg TS   | 11.0 | 2021-06-11  | S-TPHFID10 | PR       | a ulev  |
| <b>Organometaller</b>                                  |            |         |            |      |             |            |          |         |
| Monobutyltinn  | 4.31       | ± 0.44  | µg/kg TS   | 1    | 2021-06-08  | S-GC-46    | LE       | a ulev  |
| Dibutyltinn  | 13.5       | ± 1.40  | µg/kg TS   | 1    | 2021-06-08  | S-GC-46    | LE       | a ulev  |
| Tributyltinn   | 4.76       | ± 0.48  | µg/kg TS   | 1.0  | 2021-06-08  | S-GC-46    | LE       | a ulev  |
| <b>Fysikalsk</b>                                       |            |         |            |      |             |            |          |         |
| Vanninnhold  | 39.7       | ± 2.41  | %          | 0.10 | 2021-06-08  | S-DRY-GRCI | PR       | a ulev  |
| Kornstørrelse <2 µm                                    | 1.1        | ± 0.10  | %          | 0.1  | 2021-06-10  | S-TEXT-ANL | CS       | a ulev  |
| Silt (2-63 µm)   | 36.4       | ± 3.60  | %          | 0.1  | 2021-06-10  | S-TEXT-ANL | CS       | a ulev  |
| Sand (> 63 µm)   | 62.5       | ± 6.20  | %          | 0.1  | 2021-06-10  | S-TEXT-ANL | CS       | a ulev  |
| <b>Andre analyser</b>                                  |            |         |            |      |             |            |          |         |
| Totalt organisk karbon (TOC)                           | 1.31       | ± 0.20  | % tørrvekt | 0.10 | 2021-06-09  | S-TOC1-IR  | CS       | a ulev  |
| <b>Andre</b>   |            |         |            |      |             |            |          |         |
| Kromatogram  | Se vedlegg | ----    | -          | -    | 2021-06-09  | S-CHRM-GC  | PR       | a ulev  |

Submatriks: **SEDIMENT**

Kundes prøvenavn  
 Prøvenummer lab  
 Kundes prøvetakingsdato

**Sol-2-21**

NO2108533002

2021-06-03 00:00

| Parameter                        | Resultat | MU     | Enhet    | LOR  | Analysedato | Metode     | Utf. lab | Acc.Key |
|----------------------------------|----------|--------|----------|------|-------------|------------|----------|---------|
| <b>Tørrstoff</b>                 |          |        |          |      |             |            |          |         |
| Tørrstoff ved 105 grader         | 46.4     | ± 2.82 | %        | 0.10 | 2021-06-08  | S-DRY-GRCI | PR       | a ulev  |
| <b>Prøvepreparering</b>          |          |        |          |      |             |            |          |         |
| Ekstraksjon                      | Yes      | ----   | -        | -    | 2021-06-14  | S-P46      | LE       | a ulev  |
| <b>Totale elementer/metaller</b> |          |        |          |      |             |            |          |         |
| As (Arsen)                       | 2.90     | ± 0.58 | mg/kg TS | 0.50 | 2021-06-09  | S-METAXAC1 | PR       | a ulev  |
| Cd (Kadmium)                     | <0.10    | ----   | mg/kg TS | 0.10 | 2021-06-09  | S-METAXAC1 | PR       | a ulev  |
| Cr (Krom)                        | 18.6     | ± 3.73 | mg/kg TS | 0.25 | 2021-06-09  | S-METAXAC1 | PR       | a ulev  |
| Cu (Kopper)                      | 38.9     | ± 7.79 | mg/kg TS | 0.10 | 2021-06-09  | S-METAXAC1 | PR       | a ulev  |
| Hg (Kvikksølv)                   | <0.20    | ----   | mg/kg TS | 0.20 | 2021-06-09  | S-METAXAC1 | PR       | a ulev  |

Dokumentdato : 2021-06-15 09:26  
 Side : 4 av 8  
 Ordrenummer : NO2108533  
 Kunde : Rambøll Norge AS



Submatriks: **SEDIMENT**

Kundes prøvenavn

**Sol-2-21**

Prøvenummer lab

NO2108533002

Kundes prøvetakingsdato

2021-06-03 00:00

| Parameter                                     | Resultat | MU      | Enhet    | LOR     | Analysedato | Metode     | Utf. lab | Acc.Key |
|---|----------|---------|----------|---------|-------------|------------|----------|---------|
| <b>Totale elementer/metaller - Fortsetter</b> |          |         |          |         |             |            |          |         |
| Ni (Nikkel)                                   | 16.6     | ± 3.30  | mg/kg TS | 1.0     | 2021-06-09  | S-METAXAC1 | PR       | a ulev  |
| Pb (Bly)                                      | 12.3     | ± 2.50  | mg/kg TS | 1.0     | 2021-06-09  | S-METAXAC1 | PR       | a ulev  |
| Zn (Sink)                                     | 102      | ± 20.50 | mg/kg TS | 5.0     | 2021-06-09  | S-METAXAC1 | PR       | a ulev  |
| <b>PCB</b>                                    |          |         |          |         |             |            |          |         |
| PCB 28  | <0.00070 | ----    | mg/kg TS | 0.00070 | 2021-06-10  | S-SMIGMS01 | PR       | a ulev  |
| PCB 52  | <0.00070 | ----    | mg/kg TS | 0.00070 | 2021-06-10  | S-SMIGMS01 | PR       | a ulev  |
| PCB 101                                       | <0.00070 | ----    | mg/kg TS | 0.00070 | 2021-06-10  | S-SMIGMS01 | PR       | a ulev  |
| PCB 118                                       | <0.00070 | ----    | mg/kg TS | 0.00070 | 2021-06-10  | S-SMIGMS01 | PR       | a ulev  |
| PCB 138                                       | <0.00070 | ----    | mg/kg TS | 0.00070 | 2021-06-10  | S-SMIGMS01 | PR       | a ulev  |
| PCB 153                                       | <0.00070 | ----    | mg/kg TS | 0.00070 | 2021-06-10  | S-SMIGMS01 | PR       | a ulev  |
| PCB 180                                       | <0.00070 | ----    | mg/kg TS | 0.00070 | 2021-06-10  | S-SMIGMS01 | PR       | a ulev  |
| Sum PCB-7                                     | <0.00245 | ----    | mg/kg TS | 0.00245 | 2021-06-10  | S-SMIGMS01 | PR       | a ulev  |
| <b>Polyaromatiske hydrokarboner (PAH)</b>     |          |         |          |         |             |            |          |         |
| Naftalen                                      | <10      | ----    | µg/kg TS | 10      | 2021-06-10  | S-SMIGMS01 | PR       | a ulev  |
| Acenaftylen                                   | <10      | ----    | µg/kg TS | 10      | 2021-06-10  | S-SMIGMS01 | PR       | a ulev  |
| Acenaften                                     | <10      | ----    | µg/kg TS | 10      | 2021-06-10  | S-SMIGMS01 | PR       | a ulev  |
| Fluoren                                       | <10      | ----    | µg/kg TS | 10      | 2021-06-10  | S-SMIGMS01 | PR       | a ulev  |
| Fenantren                                     | 54       | ± 16.10 | µg/kg TS | 10      | 2021-06-10  | S-SMIGMS01 | PR       | a ulev  |
| Antracen                                      | 14       | ± 4.22  | µg/kg TS | 4       | 2021-06-10  | S-SMIGMS01 | PR       | a ulev  |
| Fluoranten                                    | 108      | ± 32.30 | µg/kg TS | 10      | 2021-06-10  | S-SMIGMS01 | PR       | a ulev  |
| Pyren   | 87       | ± 26.10 | µg/kg TS | 10      | 2021-06-10  | S-SMIGMS01 | PR       | a ulev  |
| Benso(a)antracen <sup>^</sup>                 | 41       | ± 12.20 | µg/kg TS | 10      | 2021-06-10  | S-SMIGMS01 | PR       | a ulev  |
| Krysen <sup>^</sup>                           | 42       | ± 12.50 | µg/kg TS | 10      | 2021-06-10  | S-SMIGMS01 | PR       | a ulev  |
| Benso(b)fluoranten <sup>^</sup>               | 44       | ± 13.30 | µg/kg TS | 10      | 2021-06-10  | S-SMIGMS01 | PR       | a ulev  |
| Benso(k)fluoranten <sup>^</sup>               | 38       | ± 11.50 | µg/kg TS | 10      | 2021-06-10  | S-SMIGMS01 | PR       | a ulev  |
| Benso(a)pyren <sup>^</sup>                    | 42       | ± 12.70 | µg/kg TS | 10      | 2021-06-10  | S-SMIGMS01 | PR       | a ulev  |
| Dibenso(ah)antracen <sup>^</sup>              | <10      | ----    | µg/kg TS | 10      | 2021-06-10  | S-SMIGMS01 | PR       | a ulev  |
| Benso(ghi)perylene                            | 29       | ± 8.66  | µg/kg TS | 10      | 2021-06-10  | S-SMIGMS01 | PR       | a ulev  |
| Indeno(123cd)pyren <sup>^</sup>               | 26       | ± 7.96  | µg/kg TS | 10      | 2021-06-10  | S-SMIGMS01 | PR       | a ulev  |
| Sum of 16 PAH (M1)                            | 525      | ----    | µg/kg TS | 80      | 2021-06-10  | S-SMIGMS01 | PR       | a ulev  |
| Sum PAH carcinogene <sup>^</sup>              | 233      | ----    | µg/kg TS | 35      | 2021-06-10  | S-SMIGMS01 | PR       | a ulev  |
| <b>Totale hydrokarboner (THC)</b>             |          |         |          |         |             |            |          |         |
| Fraksjon >C5-C6                               | <7.0     | ----    | mg/kg TS | 7.0     | 2021-06-08  | S-VPHFID02 | PR       | a ulev  |
| Fraksjon >C6-C8                               | <7.00    | ----    | mg/kg TS | 7.00    | 2021-06-08  | S-VPHFID02 | PR       | a ulev  |
| Fraksjon >C8-C10                              | <10.0    | ----    | mg/kg TS | 10.0    | 2021-06-08  | S-VPHFID02 | PR       | a ulev  |
| Fraksjon >C10-C12                             | <2.0     | ----    | mg/kg TS | 2.0     | 2021-06-09  | S-TPHFID01 | PR       | a ulev  |
| Fraksjon >C12-C16                             | <3.0     | ----    | mg/kg TS | 3.0     | 2021-06-09  | S-TPHFID01 | PR       | a ulev  |
| Fraksjon >C16-C35                             | 18       | ± 6.00  | mg/kg TS | 10      | 2021-06-09  | S-TPHFID01 | PR       | a ulev  |
| Fraksjon >C35-C40                             | <5.0     | ----    | mg/kg TS | 5.0     | 2021-06-09  | S-TPHFID01 | PR       | a ulev  |
| Fraksjon >C12-C35 (sum, M1)                   | 18.0     | ± 5.40  | mg/kg TS | 6.50    | 2021-06-11  | S-TPHFID10 | PR       | a ulev  |



Submatriks: **SEDIMENT**

Kundes prøvenavn  
 Prøvenummer lab  
 Kundes prøvetakingsdato

**Sol-2-21**

NO2108533002

2021-06-03 00:00

| Parameter                                      | Resultat   | MU     | Enhet      | LOR  | Analysedato | Metode     | Utf. lab | Acc.Key |
|--|------------|--------|------------|------|-------------|------------|----------|---------|
| <b>Totale hydrokarboner (THC) - Fortsetter</b> |            |        |            |      |             |            |          |         |
| Fraksjon >C5-C35 (sum, NORM, M1)               | 18.0       | ± 5.40 | mg/kg TS   | 11.0 | 2021-06-11  | S-TPHFID10 | PR       | a ulev  |
| <b>Organometaller</b>                          |            |        |            |      |             |            |          |         |
| Monobutyltinn                                  | 3.36       | ± 0.35 | µg/kg TS   | 1    | 2021-06-08  | S-GC-46    | LE       | a ulev  |
| Dibutyltinn                                    | 31.8       | ± 3.20 | µg/kg TS   | 1    | 2021-06-08  | S-GC-46    | LE       | a ulev  |
| Tributyltinn                                   | 17.3       | ± 1.70 | µg/kg TS   | 1.0  | 2021-06-08  | S-GC-46    | LE       | a ulev  |
| <b>Fysikalsk</b>                               |            |        |            |      |             |            |          |         |
| Vanninnhold                                    | 53.5       | ± 3.24 | %          | 0.10 | 2021-06-08  | S-DRY-GRCI | PR       | a ulev  |
| Kornstørrelse <2 µm                            | 0.8        | ± 0.08 | %          | 0.1  | 2021-06-10  | S-TEXT-ANL | CS       | a ulev  |
| Silt (2-63 µm)                                 | 48.6       | ± 4.90 | %          | 0.1  | 2021-06-10  | S-TEXT-ANL | CS       | a ulev  |
| Sand (> 63 µm)                                 | 50.6       | ± 5.00 | %          | 0.1  | 2021-06-10  | S-TEXT-ANL | CS       | a ulev  |
| <b>Andre analyser</b>                          |            |        |            |      |             |            |          |         |
| Totalt organisk karbon (TOC)                   | 1.58       | ± 0.24 | % tørrvekt | 0.10 | 2021-06-09  | S-TOC1-IR  | CS       | a ulev  |
| <b>Andre</b>                                   |            |        |            |      |             |            |          |         |
| Kromatogram                                    | Se vedlegg | ----   | -          | -    | 2021-06-09  | S-CHRM-GC  | PR       | a ulev  |

Submatriks: **SEDIMENT**

Kundes prøvenavn  
 Prøvenummer lab  
 Kundes prøvetakingsdato

**Sol-3-21**

NO2108533003

2021-06-03 00:00

| Parameter                        | Resultat | MU      | Enhet    | LOR     | Analysedato | Metode     | Utf. lab | Acc.Key |
|----------------------------------|----------|---------|----------|---------|-------------|------------|----------|---------|
| <b>Tørrstoff</b>                 |          |         |          |         |             |            |          |         |
| Tørrstoff ved 105 grader         | 49.1     | ± 2.98  | %        | 0.10    | 2021-06-08  | S-DRY-GRCI | PR       | a ulev  |
| <b>Prøvepreparering</b>          |          |         |          |         |             |            |          |         |
| Ekstraksjon                      | Yes      | ----    | -        | -       | 2021-06-14  | S-P46      | LE       | a ulev  |
| <b>Totale elementer/metaller</b> |          |         |          |         |             |            |          |         |
| As (Arsen)                       | 3.00     | ± 0.60  | mg/kg TS | 0.50    | 2021-06-09  | S-METAXAC1 | PR       | a ulev  |
| Cd (Kadmium)                     | <0.10    | ----    | mg/kg TS | 0.10    | 2021-06-09  | S-METAXAC1 | PR       | a ulev  |
| Cr (Krom)                        | 14.1     | ± 2.82  | mg/kg TS | 0.25    | 2021-06-09  | S-METAXAC1 | PR       | a ulev  |
| Cu (Kopper)                      | 50.1     | ± 10.00 | mg/kg TS | 0.10    | 2021-06-09  | S-METAXAC1 | PR       | a ulev  |
| Hg (Kvikksølv)                   | 0.47     | ± 0.09  | mg/kg TS | 0.20    | 2021-06-09  | S-METAXAC1 | PR       | a ulev  |
| Ni (Nikkel)                      | 11.8     | ± 2.40  | mg/kg TS | 1.0     | 2021-06-09  | S-METAXAC1 | PR       | a ulev  |
| Pb (Bly)                         | 11.2     | ± 2.20  | mg/kg TS | 1.0     | 2021-06-09  | S-METAXAC1 | PR       | a ulev  |
| Zn (Sink)                        | 81.9     | ± 16.40 | mg/kg TS | 5.0     | 2021-06-09  | S-METAXAC1 | PR       | a ulev  |
| <b>PCB</b>                       |          |         |          |         |             |            |          |         |
| PCB 28                           | <0.00070 | ----    | mg/kg TS | 0.00070 | 2021-06-10  | S-SMIGMS01 | PR       | a ulev  |
| PCB 52                           | <0.00070 | ----    | mg/kg TS | 0.00070 | 2021-06-10  | S-SMIGMS01 | PR       | a ulev  |
| PCB 101                          | <0.00070 | ----    | mg/kg TS | 0.00070 | 2021-06-10  | S-SMIGMS01 | PR       | a ulev  |
| PCB 118                          | <0.00070 | ----    | mg/kg TS | 0.00070 | 2021-06-10  | S-SMIGMS01 | PR       | a ulev  |
| PCB 138                          | <0.00070 | ----    | mg/kg TS | 0.00070 | 2021-06-10  | S-SMIGMS01 | PR       | a ulev  |
| PCB 153                          | <0.00070 | ----    | mg/kg TS | 0.00070 | 2021-06-10  | S-SMIGMS01 | PR       | a ulev  |
| PCB 180                          | <0.00070 | ----    | mg/kg TS | 0.00070 | 2021-06-10  | S-SMIGMS01 | PR       | a ulev  |
| Sum PCB-7                        | <0.00245 | ----    | mg/kg TS | 0.00245 | 2021-06-10  | S-SMIGMS01 | PR       | a ulev  |



Submatris: **SEDIMENT**

Kundes prøvenavn

**Sol-3-21**

Prøvenummer lab

NO2108533003

Kundes prøvetakingsdato

2021-06-03 00:00

| Parameter                                 | Resultat | MU      | Enhet      | LOR  | Analysedato | Metode     | Utf. lab | Acc.Key |
|---|----------|---------|------------|------|-------------|------------|----------|---------|
| <b>Polyaromatiske hydrokarboner (PAH)</b> |          |         |            |      |             |            |          |         |
| Naftalen                                  | <10      | ----    | µg/kg TS   | 10   | 2021-06-10  | S-SMIGMS01 | PR       | a ulev  |
| Acenaftylene                              | <10      | ----    | µg/kg TS   | 10   | 2021-06-10  | S-SMIGMS01 | PR       | a ulev  |
| Acenaften                                 | <10      | ----    | µg/kg TS   | 10   | 2021-06-10  | S-SMIGMS01 | PR       | a ulev  |
| Fluoren                                   | <10      | ----    | µg/kg TS   | 10   | 2021-06-10  | S-SMIGMS01 | PR       | a ulev  |
| Fenantren                                 | 20       | ± 5.89  | µg/kg TS   | 10   | 2021-06-10  | S-SMIGMS01 | PR       | a ulev  |
| Antracen                                  | 5        | ± 1.57  | µg/kg TS   | 4    | 2021-06-10  | S-SMIGMS01 | PR       | a ulev  |
| Fluoranten                                | 56       | ± 16.70 | µg/kg TS   | 10   | 2021-06-10  | S-SMIGMS01 | PR       | a ulev  |
| Pyren                                     | 48       | ± 14.50 | µg/kg TS   | 10   | 2021-06-10  | S-SMIGMS01 | PR       | a ulev  |
| Benso(a)antracene^                        | 21       | ± 6.44  | µg/kg TS   | 10   | 2021-06-10  | S-SMIGMS01 | PR       | a ulev  |
| Krysen^                                   | 27       | ± 7.99  | µg/kg TS   | 10   | 2021-06-10  | S-SMIGMS01 | PR       | a ulev  |
| Benso(b)fluoranten^                       | 28       | ± 8.49  | µg/kg TS   | 10   | 2021-06-10  | S-SMIGMS01 | PR       | a ulev  |
| Benso(k)fluoranten^                       | 24       | ± 7.32  | µg/kg TS   | 10   | 2021-06-10  | S-SMIGMS01 | PR       | a ulev  |
| Benso(a)pyren^                            | 23       | ± 6.99  | µg/kg TS   | 10   | 2021-06-10  | S-SMIGMS01 | PR       | a ulev  |
| Dibenso(ah)antracene^                     | <10      | ----    | µg/kg TS   | 10   | 2021-06-10  | S-SMIGMS01 | PR       | a ulev  |
| Benso(ghi)perylene                        | 16       | ± 4.93  | µg/kg TS   | 10   | 2021-06-10  | S-SMIGMS01 | PR       | a ulev  |
| Indeno(123cd)pyren^                       | 15       | ± 4.60  | µg/kg TS   | 10   | 2021-06-10  | S-SMIGMS01 | PR       | a ulev  |
| Sum of 16 PAH (M1)                        | 283      | ----    | µg/kg TS   | 80   | 2021-06-10  | S-SMIGMS01 | PR       | a ulev  |
| Sum PAH carcinogene^                      | 138      | ----    | µg/kg TS   | 35   | 2021-06-10  | S-SMIGMS01 | PR       | a ulev  |
| <b>Totale hydrokarboner (THC)</b>         |          |         |            |      |             |            |          |         |
| Fraksjon >C5-C6                           | <7.0     | ----    | mg/kg TS   | 7.0  | 2021-06-08  | S-VPHFID02 | PR       | a ulev  |
| Fraksjon >C6-C8                           | <7.00    | ----    | mg/kg TS   | 7.00 | 2021-06-08  | S-VPHFID02 | PR       | a ulev  |
| Fraksjon >C8-C10                          | <10.0    | ----    | mg/kg TS   | 10.0 | 2021-06-08  | S-VPHFID02 | PR       | a ulev  |
| Fraksjon >C10-C12                         | <2.0     | ----    | mg/kg TS   | 2.0  | 2021-06-09  | S-TPHFID01 | PR       | a ulev  |
| Fraksjon >C12-C16                         | <3.0     | ----    | mg/kg TS   | 3.0  | 2021-06-09  | S-TPHFID01 | PR       | a ulev  |
| Fraksjon >C16-C35                         | 20       | ± 6.00  | mg/kg TS   | 10   | 2021-06-09  | S-TPHFID01 | PR       | a ulev  |
| Fraksjon >C35-C40                         | <5.0     | ----    | mg/kg TS   | 5.0  | 2021-06-09  | S-TPHFID01 | PR       | a ulev  |
| Fraksjon >C12-C35 (sum, M1)               | 20.0     | ± 6.00  | mg/kg TS   | 6.50 | 2021-06-11  | S-TPHFID10 | PR       | a ulev  |
| Fraksjon >C5-C35 (sum, NORM, M1)          | 20.0     | ± 6.00  | mg/kg TS   | 11.0 | 2021-06-11  | S-TPHFID10 | PR       | a ulev  |
| <b>Organometaller</b>                     |          |         |            |      |             |            |          |         |
| Monobutyltinn                             | 11.6     | ± 1.20  | µg/kg TS   | 1    | 2021-06-08  | S-GC-46    | LE       | a ulev  |
| Dibutyltinn                               | 86.0     | ± 8.60  | µg/kg TS   | 1    | 2021-06-08  | S-GC-46    | LE       | a ulev  |
| Tributyltinn                              | 136      | ± 14.00 | µg/kg TS   | 1.0  | 2021-06-08  | S-GC-46    | LE       | a ulev  |
| <b>Fysikalsk</b>                          |          |         |            |      |             |            |          |         |
| Vanninnhold                               | 50.8     | ± 3.08  | %          | 0.10 | 2021-06-08  | S-DRY-GRCI | PR       | a ulev  |
| Kornstørrelse <2 µm                       | 0.6      | ± 0.06  | %          | 0.1  | 2021-06-10  | S-TEXT-ANL | CS       | a ulev  |
| Silt (2-63 µm)                            | 34.1     | ± 3.40  | %          | 0.1  | 2021-06-10  | S-TEXT-ANL | CS       | a ulev  |
| Sand (> 63 µm)                            | 65.3     | ± 6.50  | %          | 0.1  | 2021-06-10  | S-TEXT-ANL | CS       | a ulev  |
| <b>Andre analyser</b>                     |          |         |            |      |             |            |          |         |
| Totalt organisk karbon (TOC)              | 4.65     | ± 0.70  | % tørrvekt | 0.10 | 2021-06-09  | S-TOC1-IR  | CS       | a ulev  |
| <b>Andre</b>                              |          |         |            |      |             |            |          |         |



| Submatris: <b>SEDIMENT</b> |            | Kundes prøvenavn        |       |     | <b>Sol-3-21</b>  |           |          |         |
|----------------------------|------------|-------------------------|-------|-----|------------------|-----------|----------|---------|
|                            |            | Prøvenummer lab         |       |     | NO2108533003     |           |          |         |
|                            |            | Kundes prøvetakingsdato |       |     | 2021-06-03 00:00 |           |          |         |
| Parameter                  | Resultat   | MU                      | Enhet | LOR | Analysedato      | Metode    | Utf. lab | Acc.Key |
| <b>Andre - Fortsetter</b>  |            |                         |       |     |                  |           |          |         |
| Kromatogram                | Se vedlegg | ----                    | -     | -   | 2021-06-09       | S-CHRM-GC | PR       | a ulev  |

Dette er slutten av analyseresultatdelen av analysesertifikatet

### Kort oppsummering av metoder

| Analysemetoder | Metodebeskrivelser   |
|----------------|--|
| S-GC-46        | SS-EN ISO 23161:2011   |
| S-P46          | SS-EN ISO 23161:2011, ALS method 46  |
| S-TEXT-ANL     | CZ_SOP_D06_07_120 (BS ISO 11277:2009) Kornstørrelsesanalyse av faste prøver ved bruk av sikting og laserdiffraksjon  |
| S-TOC1-IR      | CZ_SOP_D06_07_121.A (CSN ISO 29541, CSN EN ISO 16994, CSN EN ISO 16948, CSN EN 15407, CSN ISO 19579, CSN EN 15408, CSN ISO 10694, CSN EN 13137) Bestemmelse av totalt karbon (TC), totalt organisk karbon (TOC), total svovel og hydrogen ved forbrenningsmetode ved bruk av IR,-bestemmelse av total nitrogen ved forbrenningsmetode ved bruk av TCD og bestemmelse av oksygen ved utregning og totalt uorganisk karbon (TIC) og karbonater ved utregning fra målte verdier.  |
| S-CHRM-GC      | GC kromatogram   |
| S-DRY-GRCI     | CZ_SOP_D06_01_045 (CSN ISO 11465, CSN EN 12880, CSN EN 14346), CZ_SOP_D06_07_046 (CSN ISO 11465, CSN EN 12880, CSN EN 14346, CSN 46 5735) Bestemmelse av tørrstoff gravimetrisk og bestemmelse av vanninnhold ved utregning fra målte verdier.   |
| S-METAXAC1     | CZ_SOP_D06_02_001 (US EPA 200.7, ISO 11885, US EPA 6010, SM 3120, prøver opparbeidet i henhold til CZ_SOP_D06_02_J02 (US EPA 3050, CSN EN 13657, ISO 11466) kap. 10.3 to 10.16, 10.17.5, 10.17.6, 10.17.9 to 10.17.14), Bestemmelse av elementer ved AES med ICP og støkiometriske utregninger av konsentrasjonen til aktuelle forbindelser fra målte verdier. Prøven ble homogenisert og mineralisert med salpetersyre i autoklav under høyt trykk og temperatur før analyse. |
| S-SMIGMS01     | CZ_SOP_D06_03_181 (US EPA 429, US EPA 1668, US EPA 3550) Bestemmelse av SVOC ved isotopfortynning ved bruk av GC-metode med MS-deteksjon og kalkulering av semi-sum VOC fra målte verdier  |
| S-TPHFID01     | CZ_SOP_D06_03_150 (CSN EN 14039, CSN EN ISO 16703, ISO 16558-2, US EPA 8015, US EPA 3550, TNRCC Metode 1006) Bestemmelse av ekstraherbare forbindelser i området C10 - C40, fraksjonene utregnet fra målte verdier ved GC-metode med FID-deteksjon   |
| S-TPHFID10     | Kalkuleringsmetode: CZ_SOP_D06_03_156 unntatt kap. 9.1 a 9.2 (US EPA 8260, RBCA Petroleum Hydrokarbon Metoder, ISO 15009) Bestemmelse av VOC ved GC-metode med deteksjon FID og ECD og utregning av sum VOC fra målte verdier; CZ_SOP_D06_03_150 (CSN EN 14039, CSN EN ISO 16703, ISO 16558-2) Bestemmelse av ekstraherbare forbindelser i området C10 - C40, fraksjonene beregnet fra målte verdier ved GC-metode med FID-deteksjon   |
| S-VPHFID02     | CZ_SOP_D06_03_156 unntatt kap. 11.1 a 11.2 (US EPA 8260, US EPA 8015, ISO 22155, ISO 15009, CSN EN ISO 16558-1, RBCA Petroleum Hydrokarbon Metoder) Bestemmelse av VOC ved GC-metode med deteksjon FID og ECD og utregning av VOC summer fra målte verdier   |

| Prepareringsmetoder | Metodebeskrivelser   |
|---------------------|--|
| *S-PPHOM.07         | CZ_SOP_D06_07_P01 Prøvepreparering av faste prøver for analyse (knusing, kverning og pulverisering). |
| *S-PPHOM0.3         | CZ_SOP_D06_07_P01 Prøvepreparering av faste prøver for analyse (knusing, kverning og pulverisering). |



**Noter:** **LOR** = Rapporteringsgrenser representerer standard rapporteringsgrenser for de respektive parametrene for hver metode. Merk at rapporteringsgrensen kan bli påvirket av f.eks nødvendig fortykning grunnet matrisinterferens eller ved for lite prøvemateriale

**MU** = Målesikkerhet

**a** = A etter utøvende laboratorium angir akkreditert analyse gjort av ALS Laboratory Norway AS

**a ulev** = A ulev etter utøvende laboratorium angir akkreditert analyse gjort av underleverandør

\* = Stjerne før resultat angir ikke-akkreditert analyse.

< betyr mindre enn

> betyr mer enn

n.a. – ikke aktuelt

n.d. – Ikke påvist

**Målesikkerhet:**

*Målesikkerhet skal være tilgjengelig for akkrediterte metoder. For visse analyser der dette ikke oppgis i rapporten, vil dette oppgis ved henvendelse til laboratoriet.*

*Målesikkerheten angis som en utvidet målesikkerhet (etter definisjon i "Evaluation of measurement data - Guide to the expression of uncertainty in measurement", JCGM 100:2008 Corrected version 2010) beregnet med en dekningsfaktor på 2 noe som gir et konfidensintervall på om lag 95%.*

*Målesikkerhet fra underleverandører angis ofte som en utvidet usikkerhet beregnet med dekningsfaktor 2. For ytterligere informasjon, kontakt laboratoriet.*

**Utførende lab**

|    | <b>Utførende lab</b>  |
|----|---|
| CS | Analysene er utført av: ALS Czech Republic, s.r.o., Bendlova 1687/7 Ceska Lipa 470 01         |
| LE | Analysene er utført av: ALS Scandinavia AB Luleå, Aurorum 10 Luleå Sverige 977 75             |
| PR | Analysene er utført av: ALS Czech Republic, s.r.o., Na Harfe 336/9 Prague 9 - Vysocany 190 00 |